

# Разностные схемы для ОДУ колебаний

С. Лемешевский (sergey.lemeshevsky@gmail.com)

Институт математики НАН Беларуси

Mar 11, 2017

## Аннотация

Колебательные процессы описываются дифференциальными уравнениями, решения которых представляют собой изменяющуюся со временем синусоиду. Такие решения предъявляют некоторые дополнительные (по сравнению с монотонными и очень гладкими решениями) требования к вычислительному алгоритму. Как частота, так и амплитуда колебаний должны достаточно точно воспроизводиться численным методом решения. Большинство представленных в данном разделе подходов могут использоваться для построения численных методов решения уравнений в частных производных с решениями колебательного типа в многомерном случае.

## Содержание

1	Конечно-разностная дискретизация	2
1.1	Базовая модель колебательного процесса . . . . .	2
1.2	Разностная схема . . . . .	3
1.3	Вычислительный алгоритм . . . . .	3
1.4	Безындексные обозначения . . . . .	4
2	Программная реализация	4
2.1	Функция-решатель (Солвер) . . . . .	4
2.2	Вычисление производной $u'(t)$ . . . . .	6
3	Верификация реализации алгоритма	6
3.1	Вычисления в ручную . . . . .	6
3.2	Тестирование на простейших решениях . . . . .	7
3.3	Анализ скорости сходимости . . . . .	7
4	Безразмерная модель	9

5	Проведение вычислительного эксперимента	9
5.1	Использование изменяющихся графиков . . . . .	10
5.2	Создание анимации . . . . .	13
5.3	Использование Vokeh для сравнения графиков . . . . .	15
5.4	Практический анализ решения . . . . .	17
6	Упражнения и задачи	20
1:	Использование ряда Тейлора для вычисления $y^1$ . . . . .	20
2:	Использование линейной и квадратичной функций для тестирования . . . . .	21
	Предметный указатель	23

## 1 Конечно-разностная дискретизация

Многие вычислительные проблемы, возникающие при вычислении осциллирующих решений обыкновенных дифференциальных уравнений и уравнений в частных производных могут быть проиллюстрированы на простейшем ОДУ второго порядка  $u'' + \omega^2 u = 0$ .

### 1.1 Базовая модель колебательного процесса

Колебательная система без затуханий и внешних сил может быть описана начальной задачей для ОДУ второго порядка

$$u'' + \omega^2 u = 0, \quad t \in (0, T], \quad (1)$$

$$u(0) = U, \quad u'(0) = 0. \quad (2)$$

Здесь  $\omega$  и  $U$  — заданные постоянные. Точное решение задачи (1) – (2) имеет вид

$$u(t) = U \cos \omega t, \quad (3)$$

т.е.  $u$  описывает колебания с постоянной амплитудой  $U$  и угловой частотой  $\omega$ . Соответствующий период колебаний равен  $P = 2\pi/\omega$ . Число периодов в секунду — это  $f = \omega/2\pi$ . Оно измеряется в герцах (Гц). Как  $f$ , так и  $\omega$  описываются частоту колебаний, но  $\omega$  более точно называется угловой частотой и измеряется в радиан/с.

В колебательных механических системах, описываемых задачей (1) – (2)  $u$  часто представляет собой

координату или смещение точки в системе. Производная  $u'(t)$ , таким образом, интерпретируется как скорость, а  $u''(t)$  — ускорение. Задача (1) – (2) описывает не только механические колебания, но и колебания в электрических цепях.

## 1.2 Разностная схема

При численном решении задачи (1) – (2) будем использовать равномерную сетку по переменной  $t$  с шагом  $\tau$ :

$$\omega_\tau = \{t_n = n\tau, n = 0, 1, \dots, N\}.$$

Приближенное решение задачи (1) – (2) в точке  $t_n$  обозначим  $y^n$ .

Простейшая разностная схема для приближенного решения задачи (1) – (2) есть

$$\frac{y^{n+1} - 2y^n + y^{n-1}}{\tau^2} = -\omega^2 y^n. \quad (4)$$

Кроме того необходимо аппроксимировать производную во втором начальном условии. Будем аппроксимировать ее центральную разностную производную:

$$\frac{y^1 - y^{-1}}{2\tau} = 0. \quad (5)$$

Для формулировки вычислительного алгоритма, предположим, что мы уже знаем значение  $y^{n-1}$  и  $y^n$ . Тогда из (4) мы можем выразить неизвестное значение  $y^{n+1}$ :

$$y^{n+1} = 2y^n - y^{n-1} - \tau^2 \omega^2 y^n. \quad (6)$$

Вычислительный алгоритм заключается в последовательном применении для  $n = 1, 2, \dots$

Очевидно, что (6) нельзя использовать при  $n = 0$ , так как для вычисления  $y^1$  необходимо знать неопределенное значение  $y^{-1}$  при  $t = -\tau$ . Однако, из (5) имеем  $y^{-1} = y^1$ . Подставляя последнее в (6) при  $n = 0$ , получим

$$y^1 = 2y^0 - y^1 - \tau^2 \omega^2 y^0,$$

откуда

$$y^1 = y^0 - \frac{1}{2} \tau^2 \omega^2 y^0. \quad (7)$$

В 1 требуется использовать альтернативный способ вывода (7), а также построить аппроксимацию начального условия  $u'(0) = V \neq 0$ .

## 1.3 Вычислительный алгоритм

Для решения задачи (1) – (2) следует выполнить следующие шаги:

1.  $y^0 = U$
2. вычисляем  $y^1$ , используя (7)
3. для  $n = 1, 2, \dots$ ,

(а) вычисляем  $y^n$ , используя (6)

Более строго вычислительный алгоритм напомним на Python:

```
t = linspace(0, T, N+1) # сетка по времени
tau = t[1] - t[0]        # постоянный временной шаг
u = zeros(N+1)           # решение

u[0] = U
u[1] = u[0] - 0.5*tau**2*omega**2*u[0]
for n in range(1, N):
    u[n+1] = 2*u[n] - u[n-1] - tau**2*omega**2*u[n]
```

## 1.4 Безындексные обозначения

Разностную схему можно записать, используя безындексные обозначения. Для левой и правой разностных производных соответственно имеем

$$y_{\bar{t}} \equiv \frac{y^n - y^{n-1}}{\tau}, \quad y_t \equiv \frac{y^{n+1} - y^n}{\tau}.$$

Для второй разностной производной получим

$$y_{\bar{t}t} = \frac{y_t - y_{\bar{t}}}{\tau} = \frac{y^{n+1} - 2y^n + y^{n-1}}{\tau^2}.$$

Для аппроксимации второго начального условия использовалась центральная разностная производная:

$$y_{\bar{t}} = \frac{y^{n+1} - y^{n-1}}{2\tau}.$$

## 2 Программная реализация

### 2.1 Функция-решатель (Солвер)

Алгоритм построенный в предыдущем разделе легко записать как функцию Python, вычисляющую  $y^0, y^1, \dots, y^N$  по заданным входным параметрам  $U, \omega, \tau$  и  $T$ :

```
def solver(U, omega, tau, T):
    """
    Решается задача
    u'' + omega**2*u = 0 для t из (0,T], u(0)=U и u'(0)=0,
    конечноразностным- методом с постоянным шагом tau
    """
    tau = float(tau)
    Nt = int(round(T/tau))
    u = np.zeros(Nt+1)
    t = np.linspace(0, Nt*tau, Nt+1)
```

```

u[0] = U
u[1] = u[0] - 0.5*tau**2*omega**2*u[0]
for n in range(1, Nt):
    u[n+1] = 2*u[n] - u[n-1] - tau**2*omega**2*u[n]
return u, t

```

Также будет удобно реализовать функцию для построения графиков точного и приближенного решений:

```

def visualize(u, t, U, omega):
    plt.plot(t, u, 'r--o')
    t_fine = np.linspace(0, t[-1], 1001) # мелкая сетка для точного решения
    u_e = u_exact(t_fine, U, omega)
    plt.hold('on')
    plt.plot(t_fine, u_e, 'b-')
    plt.legend(['u'приближенное', u'точное'], loc='upper left')
    plt.xlabel('$t$')
    plt.ylabel('$u$')
    tau = t[1] - t[0]
    plt.title('$\\tau = $ %g' % tau)
    umin = 1.2*u.min(); umax = -umin
    plt.axis([t[0], t[-1], umin, umax])
    plt.savefig('tmp1.png'); plt.savefig('tmp1.pdf')

```

Соответствующая основная программа вызывающая эти функции для моделирования заданного числа периодов (num\_periods) может иметь вид

```

U = 1
omega = 2*pi
tau = 0.05
num_periods = 5
P = 2*np.pi/tau # один период
T = P*num_periods
u, t = solver(U, omega, tau, T)
visualize(u, t, U, omega, tau)

```

Задание некоторых входных параметров удобно осуществлять через командную строку. Ниже представлен фрагмент кода, использующий инструмент ArgumentParser из модуля argparse для определения пар "параметр значение" (-option value) в командной строке:

```

import argparse
parser = argparse.ArgumentParser()
parser.add_argument('--U', type=float, default=1.0)
parser.add_argument('--omega', type=float, default=2*np.pi)
parser.add_argument('--tau', type=float, default=0.05)
parser.add_argument('--num_periods', type=int, default=5)
a = parser.parse_args()
U, omega, tau, num_periods = a.U, a.omega, a.tau, a.num_periods

```

Стандартный вызов основной программы выглядит следующим образом:

```
Terminal> python vib_undamped.py --num_periods 20 --tau 0.1
```

## 2.2 Вычисление производной $u'(t)$

В приложениях часто необходимо анализировать поведение скорости  $u'(t)$ . Приблизительно найти ее по полученным в узлах сетки  $\omega_\tau$  значениям  $y$  можно, например, используя центральную разностную производную:

$$u'(t_n) \approx v^n = \frac{y^{n+1} - y^n}{2\tau} = y_t^n. \quad (8)$$

Эта формула используется во внутренних узлах сетки  $\omega_\tau$  при  $n = 1, 2, \dots, N-1$ . Для  $n = 0$  скорость  $v^0$  задана начальным условием, а для  $n = N$  мы можем использовать направленную (левую) разностную производную  $v^N = y_t^N$ .

Для вычисления производной можно использовать следующий (скалярный) код:

```
v = np.zeros_like(u) # or v = np.zeros(len(u))
# Используем центральную разностную производную во внутренних узлах
for i in range(1, len(u)-1):
    v[i] = (u[i+1] - u[i-1])/(2*tau)
# Используем начальное условие для u'(0)
v[0] = 0
# Используем левую разностную производную
v[-1] = (u[-1] - u[-2])/tau
```

Мы можем избавиться от цикла (медленного для больших  $N$ ), векторизовав вычисление разностной производной. Фрагмент кода, приведенного выше, можно заменить следующей векторизованной формой:

```
v = np.zeros_like(u)
v[1:-1] = (u[2:] - u[:-2])/(2*tau) # центральная разностная производная
v[0] = 0 # начальное условие u'(0)
v[-1] = (u[-1] - u[-2])/tau # левая разностная производная
```

## 3 Верификация реализации алгоритма

### 3.1 Вычисления в ручную

Простейший способ проверки правильности реализации алгоритма заключается в вычислении значений  $y^1, y^2$  и  $y^3$ , например с помощью калькулятора и в написании функции, сравнивающей эти результаты с соответствующими результатами вычисленными с помощью функции `solver`. Представленная ниже функция `test_three_steps` демонстрирует, как можно использовать "ручные" вычисления для тестирования кода:

```

def test_three_steps():
    from math import pi
    U = 1; omega = 2*pi; tau = 0.1; T = 1
    u_by_hand = np.array([
        1.0000000000000000,
        0.802607911978213,
        0.288358920740053])
    u, t = solver(U, omega, tau, T)
    diff = np.abs(u_by_hand - u[:3]).max()
    tol = 1E-14
    assert diff < tol

```

### 3.2 Тестирование на простейших решениях

Построение тестовой задачи, решением которой является постоянная величина или линейная функция, помогает выполнять начальную отладку и проверку реализации алгоритма, так как соответствующие вычислительные алгоритмы воспроизводят такие решения с машинной точностью. Например, методы второго порядка точности часто являются точными на полиномах второй степени. Возьмем точное значение второй разностной производной  $(t^2)_{tt}^n = 2$ . Решение  $u(t) = t^2$  дает  $u'' + \omega^2 u = 2 + (\omega t)^2 \neq 0$ . Следовательно, необходимо добавить функцию источника в уравнение:  $u'' + \omega^2 u = f$ . Такое уравнение имеет решение  $u(t) = t^2$  при  $f(t) = (\omega t)^2$ . Простой подстановкой убеждаемся, что сеточная функция  $y^n = t_n^2$  является решением разностной схемы. Выполните 2.

### 3.3 Анализ скорости сходимости

Естественно ожидать, что погрешность метода  $\varepsilon$  должна уменьшаться с уменьшением шага  $\tau$ . Многие вычислительные методы (в том числе и конечно-разностные) имеют степенную зависимость погрешности  $\varepsilon$  от  $\tau$ :

$$\varepsilon = M\tau^r, \quad (9)$$

где  $C$  и  $r$  — постоянные (обычно неизвестные), не зависящие от  $\tau$ . Формула (9) является асимптотическим законом, верным при достаточно малом параметре  $\tau$ . Насколько малом оценить сложно без численной оценки параметра  $r$ .

Параметр  $r$  называется скоростью сходимости.

Оценка скорости сходимости. Чтобы оценить скорость сходимости для рассматриваемой задачи, нужно выполнить

- провести  $m$  расчетов, уменьшая на каждом из них шаг в два раза:  
 $\tau_k = 2^{-k}\tau_0$ ,  $k = 0, 1, \dots, m-1$ ,
- вычислить  $L_2$ -норму погрешности для каждого расчета  $\varepsilon_k = \sqrt{\sum_{n=0}^{N-1} (y^n - u_e(t_n))^2} \tau_k$ ,

- оценить скорость сходимости на основе двух последовательных экспериментов  $(\tau_{k-1}, \varepsilon_{k-1})$  и  $(\tau_k, \varepsilon_k)$ , в предположении, что погрешность подчинена закону (9). Разделив  $\varepsilon_{k-1} = M\tau_{k-1}^r$  на  $\varepsilon_k = M\tau_k^r$  и решая получившееся уравнение относительно  $r$ , получим

$$r_{k-1} = \frac{\ln(\varepsilon_{k-1}/\varepsilon_k)}{\ln(\tau_{k-1}/\tau_k)}, \quad k = 0, 1, \dots, m-1.$$

Будем надеяться, что полученные значения  $r_0, r_1, \dots, r_{m-2}$  сходятся к некоторому числу (в нашем случае к 2).

Программная реализация. Ниже приведена функция для вычисления последовательности  $r_0, r_1, \dots, r_{m-2}$ .

```
def convergence_rates(m, solver_function, num_periods=8):
    """
    Возвращает m-1 эмпирическую оценку скорости сходимости,
    полученную на основе m расчетов, для каждого из которых
    шаг по времени уменьшается в два раза.
    solver_function(U, omega, tau, T) решает каждую задачу,
    для которой T, получается на основе вычислений для
    num_periods периодов.
    """
    from math import pi
    omega = 0.35; U = 0.3          # просто заданные значения
    P = 2*pi/omega                # период
    tau = P/30                    # 30 шагов на период 2*pi/omega
    T = P*num_periods

    tau_values = []
    E_values = []
    for i in range(m):
        u, t = solver_function(U, omega, tau, T)
        u_e = u_exact(t, U, omega)
        E = np.sqrt(tau*np.sum((u_e-u)**2))
        tau_values.append(tau)
        E_values.append(E)
        tau = tau/2

    r = [np.log(E_values[i-1]/E_values[i])/
          np.log(tau_values[i-1]/tau_values[i])
          for i in range(1, m, 1)]
    return r
```

Ожидаемая скорость сходимости — 2, так как мы используем конечно-разностную аппроксимацию второго порядка для второй производной в уравнении и для первого начального условия. Теоретический анализ погрешности аппроксимации дает  $r = 2$ .

Для рассматриваемой задачи, когда  $\tau_0$  соответствует 30 временным шагам на период, возвращаемый список  $r$  содержит элементы равные 2.00. Это



означает, что все значения  $\tau_k$  удовлетворяют асимптотическому режиму, при котором выполнено соотношение (9)

Теперь мы можем написать тестовую функцию, которая вычисляет скорости сходимости и проверяет, что последняя оценка достаточно близка к 2. Здесь достаточно граница допуска 0.1.

```
def test_convergence_rates():
    r = convergence_rates(m=5, solver_function=solver, num_periods=8)
    tol = 0.1
    assert abs(r[-1] - 2.0) < tol
```

## 4 Безразмерная модель

При моделировании полезно использовать безразмерные переменные, так как в этом случае нужно задавать меньше параметров. Рассматриваемая нами задача обезразмеривается заданием переменных  $\bar{t} = t/t_c$  и  $\bar{u} = u/u_c$ , где  $t_c$  и  $u_c$  характерные масштабы для  $t$  и  $u$ , соответственно. Задача для ОДУ принимает вид

$$\frac{u_c}{t_c} \frac{d^2 \bar{u}}{d\bar{t}^2} + u_c \bar{u} = 0, \quad u_c \bar{u}(0) = U, \quad \frac{u_c}{t_c} \frac{d\bar{u}}{d\bar{t}}(0) = 0.$$

Обычно в качестве  $t_c$  выбирается один период колебаний, т.е.  $t_c = 2\pi/\omega$  и  $u_c = U$ . Отсюда получаем безразмерную модель

$$\frac{d^2 \bar{u}}{d\bar{t}^2} + 4\pi^2 \bar{u} = 0, \quad \bar{u}(0) = 1, \quad \bar{u}'(0) = 0. \quad (10)$$

Заметьте, что в (10) отсутствуют физические параметры. Таким образом мы можем выполнить одно вычисление  $\bar{u}(\bar{t})$  и затем восстановить любое  $u(t; \omega, U)$  следующим образом

$$u(t; \omega, U) = u_c \bar{u}(t/t_c) = U \bar{u}(\omega t / (2\pi)).$$

Расчет для безразмерной модели можно выполнить вызвав функцию `solver(U = 1, omega = 2*np.pi, tau, T)`. В этом случае период равен 1 и  $T$  задает количество периодов. Выбор  $\tau = 1/N$  дает  $N$  шагов на период.

Сценарий `vib_undamped.py`<sup>1</sup> содержит представленные в данном разделе примеры.

## 5 Проведение вычислительного эксперимента

На рисунке 1 представлено сравнение точного и приближенного решений безразмерной модели (10) с шагами  $\tau = 0.1$  и  $0.5$ . Проанализировав графики, мы можем сделать следующие предположения:

<sup>1</sup>src-fdm-for-ode/vib\_undamped.py

- Похоже, что численное решение корректно передает амплитуду колебаний
- Наблюдается погрешность при расчете угловой частоты, которая уменьшается при уменьшении шага.
- Суммарная погрешность угловой частоты увеличивается со временем.

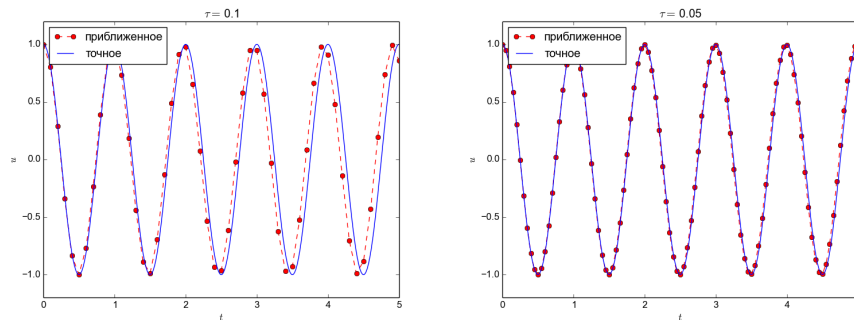


Рис. 1: Эффект от уменьшения шага вдвое

### 5.1 Использование изменяющихся графиков

В рассматриваемой нами задаче о колебаниях следует анализировать поведение системы на больших временных интервалах. Как видно из предыдущих наблюдений погрешность угловой частоты накапливается и становится более различной со временем. Мы можем провести анализ на большом интервале времени, построив подвижные графики, которые могут изменяться в течение  $p$  новых вычисленных периодах решения. Пакет SciTools<sup>2</sup> содержит удобный инструмент для этого: MovingPlotWindow. Ниже приведена функция, использующая данный инструмент:

```
def visualize_front(u, t, U, omega, savefig=False, skip_frames=1):
    """
    Строится зависимость приближенного и точного решений
    от t с использованием анимированного изображения и непрерывного
    отображения кривых, изменяющихся со временем.
    Графики сохраняются в файлы, если параметр savefig=True.
    Только каждый skip_frames- график сохраняется например(, если
    skip_frame=10, только каждый десятый график сохраняется в файл;
    это удобно, если нужно сравнивать графики для различных моментов
    времени).
    """
```

<sup>2</sup><https://github.com/hplgit/scitools>

```

import scitools.std as st
from scitools.MovingPlotWindow import MovingPlotWindow
from math import pi

# Удаляем все старые графики tmp_*.png
import glob, os
for filename in glob.glob('tmp_*.png'):
    os.remove(filename)

P = 2*pi/omega # один период
umin = 1.2*u.min(); umax = -umin
tau = t[1] - t[0]
plot_manager = MovingPlotWindow(
    window_width=8*P,
    dt=tau,
    yaxis=[umin, umax],
    mode='continuous drawing')
frame_counter = 0
for n in range(1,len(u)):
    if plot_manager.plot(n):
        s = plot_manager.first_index_in_plot
        st.plot(t[s:n+1], u[s:n+1], 'r-1',
            t[s:n+1], U*np.cos(omega*t)[s:n+1], 'b-1',
            title='t=%6.3f' % t[n],
            axis=plot_manager.axis(),
            show=not savefig) # пропускаем окно, если savefig
    if savefig and n % skip_frames == 0:
        filename = 'tmp_%04d.png' % frame_counter
        st.savefig(filename)
        print u'Создаем графический файл', filename, 't=%g' % t[n]
        frame_counter += 1
    plot_manager.update(n)

def bokeh_plot(u, t, legends, U, omega, t_range, filename):
    """
    Строится график зависимости приближенного решения от t с
    использованием библиотеки Bokeh.
    u и t - списки несколько( экспериментов могут сравниваться).
    легенды содержат строки для различных пар u,t.
    """
    if not isinstance(u, (list,tuple)):
        u = [u]
    if not isinstance(t, (list,tuple)):
        t = [t]
    if not isinstance(legends, (list,tuple)):
        legends = [legends]

    import bokeh.plotting as plt
    plt.output_file(filename, mode='cdn', title=u'Сравнение с помощью Bokeh')
    # Предполагаем, что все массивы t имеют одинаковые размеры

```

```

t_fine = np.linspace(0, t[0][-1], 1001) # мелкая сетка для точного решения
tools = 'pan,wheel_zoom,box_zoom,reset,\
        'save,box_select,lasso_select'
u_range = [-1.2*U, 1.2*U]
font_size = '8pt'
p = [] # список графических объектов
# Создаем первую фигуру
p_ = plt.figure(
    width=300, plot_height=250, title=legends[0],
    x_axis_label='t', y_axis_label='u',
    x_range=t_range, y_range=u_range, tools=tools,
    title_text_font_size=font_size)
p_.xaxis.axis_label_text_font_size=font_size
p_.yaxis.axis_label_text_font_size=font_size
p_.line(t[0], u[0], line_color='blue')
# Добавляем точное решение
u_e = u_exact(t_fine, U, omega)
p_.line(t_fine, u_e, line_color='red', line_dash='4 4')
p.append(p_)
# Создаем оставшиеся фигуры и добавляем их оси к осям первой фигуры
for i in range(1, len(t)):
    p_ = plt.figure(
        width=300, plot_height=250, title=legends[i],
        x_axis_label='t', y_axis_label='u',
        x_range=p[0].x_range, y_range=p[0].y_range, tools=tools,
        title_text_font_size=font_size)
    p_.xaxis.axis_label_text_font_size = font_size
    p_.yaxis.axis_label_text_font_size = font_size
    p_.line(t[i], u[i], line_color='blue')
    p_.line(t_fine, u_e, line_color='red', line_dash='4 4')
    p.append(p_)

# Располагаем все графики на сетке с 3 графиками в строке
grid = []
for i, p_ in enumerate(p):
    grid[-1].append(p_)
    if (i+1) % 3 == 0:
        # Новая строка
        grid.append([])
plot = plt.gridplot(grid, toolbar_location='left')
plt.save(plot)
plt.show(plot)

def demo_bokeh():
    """Решаем безразмерное ОДУ  $u'' + u = 0$ ."""
    omega = 1.0 # безразмерная задача частота()
    P = 2*np.pi/omega # период
    num_steps_per_period = [5, 10, 20, 40, 80]
    T = 40*P # Время моделирования: 40 периодов

```

```

u = []      # список с приближенными решениями
t = []      # список с соответствующими сетками
legends = []
for n in num_steps_per_period:
    tau = P/n
    u_, t_ = solver(U=1, omega=omega, tau=tau, T=T)
    u.append(u_)
    t.append(t_)
    legends.append(u'Шагов на период: %d' % n)
bokeh_plot(u, t, legends, U=1, omega=omega, t_range=[0, 4*P],
            filename='bokeh.html')

if __name__ == '__main__':
    #main()
    demo_bokeh()
    # raw_input()

```

Можно вызывать эту функцию в функции `main`, если число периодов при моделировании больше 10. Запуск вычислений для безразмерной модели (значения, заданные по умолчанию, для аргументов командной строки `-U` и `-omega` соответствуют безразмерной модели) для 40 периодов с 20 шагами на период выглядит следующим образом

```
Terminal> python vib_undamped.py --dt 0.05 --num_periods 40
```

Появится окно с движущимся графиком, на котором мы можем видеть изменение точного и приближенного решений со временем. На этих графиках мы видим, что погрешность угловой частоты мала в начале расчета, но становится более заметной со временем.

## 5.2 Создание анимации

Стандартные видео форматы. Функция `visualize_front` сохраняет все графики в файлы с именами: `tmp_0000.png`, `tmp_0001.png`, `tmp_0002.png` и т.д. Из этих файлов мы можем создать видео файл, например, в формате `mpeg4`:

```
Terminal> ffmpeg -r 12 -i tmp_%04d.png -c:v libx264 movie.mp4
```

Программа `ffmpeg` имеется в репозиториях `Ubuntu`. Можно использовать другие программы для создания видео из набора отдельных графических файлов. Для генерации других видео форматов с помощью `ffmpeg` можно использовать соответствующие кодеки и расширения для выходных файлов:

Формат	Кодек и имя файла
Flash	-c:v flv movie.flv
MP4	-c:v libx264 movie.mp4
WebM	-c:v libx264 movie.mp4
Ogg	-c:v libtheora movie.ogg

Видео файл можно проиграть каким-либо видео плеером.

Также можно использовать веб-браузер, создав веб-страницу, содержащую HTML5-тег video:

```
<video autoplay loop controls width='640' height='365' preload='none'>
  <source src='movie.webm' type='video/webm; codecs="vp8, vorbis"'>
</video>
```

Современные браузеры поддерживают не все видео форматы. MP4 необходим для просмотра на устройствах Apple, которые используют браузер Safari. WebM — предпочтительный формат для Chrome, Opera, Firefox и IE v9+. Flash был популярен раньше, но старые браузеры, которые использовали Flash могут проигрывать MP4. Все браузеры, которые работают с форматом Ogg, могут также воспроизводить WebM. Это означает, что для того, чтобы видео можно было просмотреть в любом браузере, это видео должно быть доступно в форматах MP4 и WebM. Соответствующий HTML код представлен ниже:

```
<video autoplay loop controls width='640' height='365' preload='none'>
  <source src='movie.mp4' type='video/mp4; codecs="avc1.42E01E, mp4a.40.2"'>
  <source src='movie.webm' type='video/webm; codecs="vp8, vorbis"'>
</video>
```

Формат MP4 должен идти первым для того, чтобы устройства Apple могли корректно загружать видео.

#### Warning.

Для того, чтобы быть уверенным в том, что отдельные графические кадры в итоге показывались в правильном порядке, необходимо нумеровать файлы используя нули в начале номера (0000, 0001, 0002 и т.д.). Формат %04d задает отображение целого числа в поле из 4 символов, заполненном слева нулями.

Проигрыватель набора PNG файлов в браузере. Команда scitools movie может создать видео проигрыватель для набора PNG так, что можно будет использовать браузер для просмотра "видео". Преимущество такой реализации в том, что пользователь может контролировать скорость изменения графиков. Команда для генерации HTML с проигрывателем набора PNG файлов tmp\_\*.png выглядит следующим образом:

```
Terminal> scitools movie output_file=vib.html fps=4 tmp_*.png
```

Параметр fps управляет скоростью проигрывания видео (количество фреймов в секунду).

Для просмотра видео достаточно загрузить страницу vib.html в какой-либо браузер.

Создание анимированных GIF файлов. Из набора PNG файлов можно также создать анимированный GIF, используя программу convert программного пакета ImageMagick<sup>3</sup>:

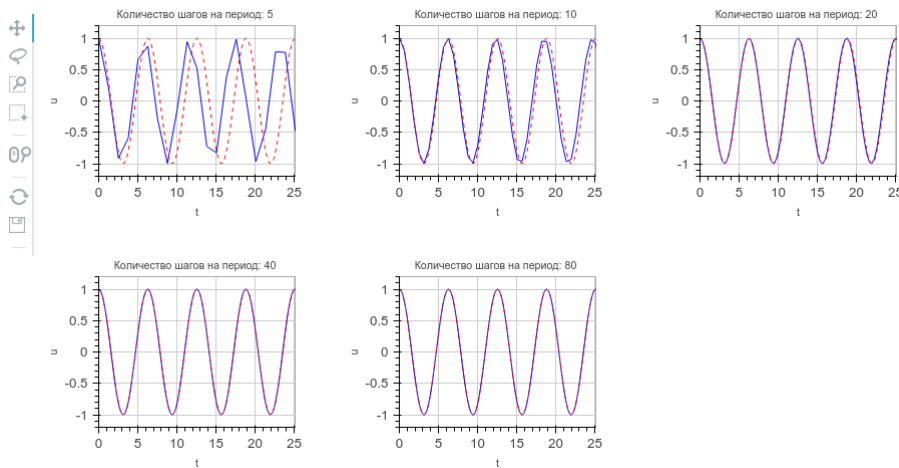
```
Terminal> convert -delay 25 tmp_*.png tmp_vib.gif
```

Параметр delay устанавливает задержку между фреймами, измеряемую в  $1/100$  с, таким образом 4 фрейма в секунду здесь задается задержкой  $25/100$  с. Отметим, что в нашем случае расчета 40 периодов с шагом  $\tau = 0.05$ , процесс создания GIF из большого набора PNG файлов является ресурсоемким, поэтому такой подход не стоит использовать. Анимированный GIF может быть подходящим, когда используется небольшое количество фреймов, нужно анализировать каждый фрейм и проигрывать видео медленно.

### 5.3 Использование Bokeh для сравнения графиков

Вместо динамического изменения графиков, можно использовать средства для расположения графиков на сетке с помощью мыши. Например, мы можем расположить четыре периода на графиках, а затем с помощью мыши прокручивать остальные временные отрезки. Графическая библиотека Bokeh<sup>4</sup> предоставляет такой инструментарий, но графики должны просматриваться в браузере. Библиотека имеет отличную документацию, поэтому здесь мы покажем, как она может использоваться при сравнении набора графиков функции  $u(t)$ , соответствующих длительному моделированию.

Допустим, что мы хотим выполнить эксперименты для серии значений  $\tau$ . Нам нужно построить совместные графики приближенного и точного решения для каждого шага  $\tau$  и расположить их на сетке:



<sup>3</sup><http://www.imagemagick.org>

<sup>4</sup><http://bokeh.pydata.org>

Далее мы можем перемещать мышью кривую в одном графике, в других кривые будут смещаться автоматически.

Функция, генерирующая html страницу с графиками с использованием библиотеки Bokeh по заданным спискам массивов  $u$  и соответствующих массивов  $t$  для различных вариантов расчета, представлена ниже:

```
def bokeh_plot(u, t, legends, U, omega, t_range, filename):
    """
    Строится график зависимости приближенного решения от  $t$  с
    использованием библиотеки Bokeh.
     $u$  и  $t$  - списки несколько( экспериментов могут сравниваться).
    легенды содержат строки для различных пар  $u, t$ .
    """
    if not isinstance(u, (list, tuple)):
        u = [u]
    if not isinstance(t, (list, tuple)):
        t = [t]
    if not isinstance(legends, (list, tuple)):
        legends = [legends]

    import bokeh.plotting as plt
    plt.output_file(filename, mode='cdn', title=u'Сравнение с помощью Bokeh')
    # Предполагаем, что все массивы  $t$  имеют одинаковые размеры
    t_fine = np.linspace(0, t[0][-1], 1001) # мелкая сетка для точного решения
    tools = 'pan,wheel_zoom,box_zoom,reset,\
            \'save,box_select,lasso_select\'
    u_range = [-1.2*U, 1.2*U]
    font_size = '8pt'
    p = [] # список графических объектов
    # Создаем первую фигуру
    p_ = plt.figure(
        width=300, plot_height=250, title=legends[0],
        x_axis_label='t', y_axis_label='u',
        x_range=t_range, y_range=u_range, tools=tools,
        title_text_font_size=font_size)
    p_.xaxis.axis_label_text_font_size=font_size
    p_.yaxis.axis_label_text_font_size=font_size
    p_.line(t[0], u[0], line_color='blue')
    # Добавляем точное решение
    u_e = u_exact(t_fine, U, omega)
    p_.line(t_fine, u_e, line_color='red', line_dash=[4, 4])
    p.append(p_)
    # Создаем оставшиеся фигуры и добавляем их оси к осям первой фигуры
    for i in range(1, len(t)):
        p_ = plt.figure(
            width=300, plot_height=250, title=legends[i],
            x_axis_label='t', y_axis_label='u',
            x_range=p[0].x_range, y_range=p[0].y_range, tools=tools,
            title_text_font_size=font_size)
```



```

p_.axis(axis_label_text_font_size = font_size
p_.axis(axis_label_text_font_size = font_size
p_.line(t[i], u[i], line_color='blue')
p_.line(t_fine, u_e, line_color='red', line_dash='4 4')
p.append(p_)

# Располагаем все графики на сетке с 3 графиками в строке
grid = []
for i, p_ in enumerate(p):
    grid[-1].append(p_)
    if (i+1) % 3 == 0:
        # Новая строка
        grid.append([])
plot = plt.gridplot(grid, toolbar_location='left')
plt.save(plot)
plt.show(plot)

```

Приведем также пример использования функции `bokeh_plot`:

```

def demo_bokeh():
    """Решаем безразмерное ОДУ u'' + u = 0."""
    omega = 1.0 # безразмерная задача частота()
    P = 2*np.pi/omega # период
    num_steps_per_period = [5, 10, 20, 40, 80]
    T = 40*P # Время моделирования: 40 периодов
    u = [] # список с приближенными решениями
    t = [] # список с соответствующими сетками
    legends = []
    for n in num_steps_per_period:
        tau = P/n
        u_, t_ = solver(U=1, omega=omega, tau=tau, T=T)
        u.append(u_)
        t.append(t_)
        legends.append(u'Шагов на период: %d' % n)
    bokeh_plot(u, t, legends, U=1, omega=omega, t_range=[0, 4*P],
               filename='bokeh.html')

```

## 5.4 Практический анализ решения

Для колебательной функции, аналогичной представленной на 1, мы можем вычислить амплитуду и частоту (или период) на основе моделирования. Мы пробегаем дискретное множество точек решения  $(t_n, y^n)$  и находим все точки экстремумов. Расстояние между двумя последовательными точками максимума (или минимума) можно использовать для оценки локального периода, при этом половина разницы между максимальным и ближайшим к нему минимальным значениями  $y$  дают оценку локальной амплитуды.

Локальный максимум — это точки, где выполнено условие

$$y^{n-1} < y^n > y^{n+1}, \quad n = 1, 2, \dots, N.$$

Аналогично определяются точки локального минимума

$$y^{n-1} > y^n < y^{n+1}, \quad n = 1, 2, \dots, N.$$

Ниже приведена функция определения локальных максимумов и минимумов

```
def minmax(t, u):
    """
    Вычисляются все локальные минимумы и максимумы сеточной функции
    u(t_n), представленной массивами u и t. Возвращается список минимумов
    и максимумов вида (t[i], u[i]).
    """
    minima = []; maxima = []
    for n in range(1, len(u)-1, 1):
        if u[n-1] > u[n] < u[n+1]:
            minima.append((t[n], u[n]))
        if u[n-1] < u[n] > u[n+1]:
            maxima.append((t[n], u[n]))
    return minima, maxima
```

Два возвращаемых объекта — списки кортежей.

Пусть  $(t_k, e^k)$ ,  $k = 0, 1, \dots, M - 1$  — последовательность всех  $M$  точек максимума, где  $t_k$  — момент времени и  $e^k$  — соответствующее значение сеточной функции  $y$ . Локальный период можно определить как  $p_k = t_{k+1} - t_k$ , что на языке Python можно реализовать следующим образом:

```
def periods(extrema):
    """
    По заданному списку (t,u) точек минимума или максимума возвращается
    массив соответствующих локальных периодов.
    """
    p = [extrema[n][0] - extrema[n-1][0]
          for n in range(1, len(extrema))]
    return np.array(p)
```

Зная минимумы и максимумы, мы можем определить локальные амплитуды через разницы между соседними точками максимумов и минимумов:

```
def amplitudes(minima, maxima):
    """
    По заданным спискам точек локальных минимумов и максимумов
    возвращается массив соответствующих локальных амплитуд.
    """
    # Сравнивается первый максимум с первым минимумом и тд..
    a = [(abs(maxima[n][1] - minima[n][1]))/2.0
          for n in range(min(len(minima), len(maxima)))]
    return np.array(a)
```

Так как  $a[k]$  и  $p[k]$  соответствуют  $k$ -тым оценкам амплитуды и периода, соответственно, удобно отобразить графически зависимость значений  $a$  и  $p$  от индекса  $k$ .

При анализе больших временных рядов выгодно вычислять и визуализировать  $p$  и  $a$  вместо  $u$  для того, чтобы получить представление о распространении колебаний. Покажем как это сделать для безразмерной задачи при  $\tau = 0.1, 0.5, 0.01$ . Пусть заготовлена следующая функция:

```
def plot_empirical_freq_and_amplitude(u, t, U, omega):
    """
    Находит эмпирически угловую частоту и амплитуду при вычислениях,
    зависящую от  $u$  и  $t$ .  $u$  и  $t$  могут быть массивами или в( случае
    нескольких расчетов) многомерными массивами.
    Одно построение графика выполняется для амплитуды и одно для
    угловой частоты на( легендах названа просто частотой).
    """
    from vib_empirical_analysis import minmax, periods, amplitudes
    from math import pi
    if not isinstance(u, (list, tuple)):
        u = [u]
        t = [t]
    legends1 = []
    legends2 = []
    for i in range(len(u)):
        minima, maxima = minmax(t[i], u[i])
        p = periods(maxima)
        a = amplitudes(minima, maxima)
        plt.figure(1)
        plt.plot(range(len(p)), 2*pi/p)
        legends1.append(u'Частота, case%d' % (i+1))
        plt.hold('on')
        plt.figure(2)
        plt.plot(range(len(a)), a)
        plt.hold('on')
        legends2.append(u'Амплитуда, case%d' % (i+1))
    plt.figure(1)
    plt.plot(range(len(p)), [omega]*len(p), 'k--')
    legends1.append(u'Точная частота')
    plt.legend(legends1, loc='lower left')
    plt.axis([0, len(a)-1, 0.8*omega, 1.2*omega])
    plt.savefig('tmp1.png'); plt.savefig('tmp1.pdf')
    plt.figure(2)
    plt.plot(range(len(a)), [U]*len(a), 'k--')
    legends2.append(u'Точная амплитуда')
    plt.legend(legends2, loc='lower left')
    plt.axis([0, len(a)-1, 0.8*U, 1.2*U])
    plt.savefig('tmp2.png'); plt.savefig('tmp2.pdf')
    plt.show()
```

Мы можем написать небольшую программу для создания графиков:

```
# -*- coding: utf-8 -*-
```

```

from vib_undamped import solver, plot_empirical_freq_and_amplitude
from math import pi

tau_values = [0.1, 0.5, 0.01]
u_cases = []
t_cases = []

for tau in tau_values:
    # Рассчитываем безразмерную модель для 40 периодов
    u, t = solver(U = 1, omega = 2*pi, tau = tau, T = 40)
    u_cases.append(u)
    t_cases.append(t)

plot_empirical_freq_and_amplitude(u_cases, t_cases, U = 1, omega = 2*pi)

```

На рис. 2 представлен результат работы программы: очевидно, что уменьшение шага расчета  $\tau$  существенно улучшает угловую частоту, при этом амплитуда тоже становится более точной. Линии для  $\tau = 0.01$ , соответствующие 100 шагам на период, сложно отличить от точных значений.

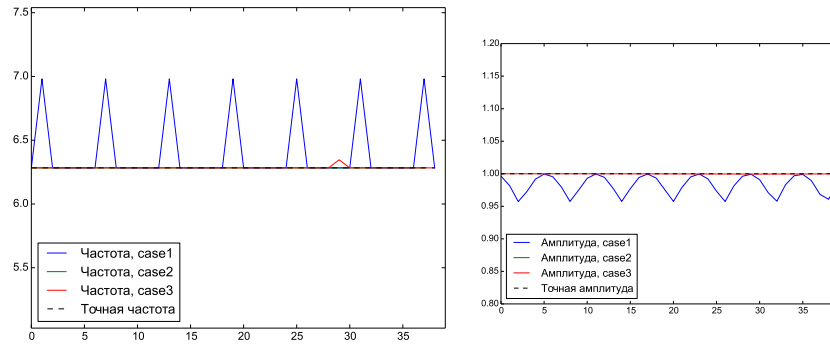


Рис. 2: Эмпирические амплитуды и угловые частоты для трех значений временного шага.

## 6 Упражнения и задачи

Exercise 1: Использование ряда Тейлора для вычисления  $y^1$

Альтернативный способ вывода (7) для вычисления  $y^1$  заключается в использовании следующего ряда Тейлора:

$$u(t_1) \approx u(0) + \tau u'(0) + \frac{\tau^2}{2} u''(0) + O(\tau^3)$$

Используя уравнение (1) и начальное условие для производной  $u'(0) = 0$ , покажите, что такой способ также приведет к (7). Более общее условие для

$u'(0)$  имеет вид  $u'(0) = V$ . Получите формулу для вычисления  $y^1$  двумя способами.

Problem 2: Использование линейной и квадратичной функций для тестирования

Рассмотрим задачу для ОДУ:

$$u'' + \omega^2 u = f(t), \quad u(0) = U, \quad u'(0) = V, \quad t \in (0, T].$$

1. Аппроксимируем уравнение разностной схемой  $y_{tt}^n + \omega^2 y^n = f^n$ .
2. Вывести уравнение для нахождения приближенного решения  $y^1$  на первом временном шаге.
3. Для тестирования реализации алгоритма воспользуемся методом пробных функций. Выберем  $u_e(t) = ct + d$ . Найти  $c$  и  $d$  из начальных условий. Вычислить соответствующую функцию источника  $f$ . Покажите, что  $u_e$  является точным решением соответствующей разностной схемы.
4. Используйте sympy для выполнения символьных вычислений из пункта 2. Ниже представлен каркас такой программы:

```
# -*- coding: utf-8 -*-

import sympy as sym
V, t, U, omega, tau = sym.symbols('V t U omega tau') # глобальные символы
f = None # глобальная переменная для функции источника ОДУ

def ode_source_term(u):
    """
    Возвращает функцию источника ОДУ, равную u'' + omega**2*u.
    u --- символьная функция от t."""
    return sym.diff(u(t), t, t) + omega**2*u(t)

def residual_discrete_eq(u):
    """
    Возвращает невязку разностного уравнения на заданной u.
    """
    R = ...
    return sym.simplify(R)

def residual_discrete_eq_step1(u):
    """
    Возвращает невязку разностного уравнения на первом шаге
    на заданной u.
    """
    R = ...
```

```

    return sym.simplify(R)

def DtDt(u, tau):
    """
    Возвращает вторую разностную производную от u.
    u --- символьная функция от t.
    """
    return ...

def main(u):
    """
    Задавая некоторое решение u как функцию от t, используйте метод
    пробных функций для вычисления функции источника f и проверьте
    является ли u решением и разностной задачи.
    """
    print '=== Проверка точного решения: %s ===' % u
    print "Начальные условия u(0)=%s, u'(0)=%s:" % \
        (u(t).subs(t, 0), sym.diff(u(t), t).subs(t, 0))

    # Метод пробных функций требует подбора f
    global f
    f = sym.simplify(ode_lhs(u))

    # Невязка разностной задачи должна( быть 0)
    print 'residual step1:', residual_discrete_eq_step1(u)
    print 'residual:', residual_discrete_eq(u)

def linear():
    main(lambda t: V*t + U)

if __name__ == '__main__':
    linear()

```

## Предметный указатель

Разностная производная, 3

    центральная, 3

    левая, 3

    вторая, 3

    правая, 3

Разностная схема, 2

ArgumentParser, 5